

苏联化学工业部

橡胶工业科学研究院
苏联科学院

第三集

(内部资料，注意保存)



苏联化学工业部

橡胶工业科学研究院报告汇编

第三集

化学工业部橡胶工业研究设计院 谱

化学工业出版社

МИНИСТЕРСТВО
ХИМИЧЕСКОЙ ПРОМЫШЛЕННОСТИ СССР
ТРУДЫ
НАУЧНО-ИССЛЕДОВАТЕЛЬСКОГО
ИНСТИТУТА
РЕЗИНОВОЙ ПРОМЫШЛЕННОСТИ
СБОРНИК 3
ГОСХИМИЗДАТ (МОСКВА—1956)

苏联化学工业部
橡胶工业科学研究院报告汇
第三集
化学工业部橡胶工业研究设计院 编
书号：(内) 208 定价：0.70元

化学工业出版社（北京安定门外和平北路）出版

北京新华书店总发行所北京图书馆总发行处

北京崇文印刷厂印刷 内部发行

印数：1956年1月第1版 1960年9月第1次印刷

印数：1850×1168-1/92 版数：1/2开

印数：144 号数：1-3891

目 录

1. 壓延機速度的調整（在電傳動裝置異步電動機轉子電路中接入電
阻）..... С.В.楚里弗列等 (1)
2. 橡膠金屬活節多次變形時的生熱..... В.М.哥列里克 (16)
3. 與橡膠結合的鋼制附件在非氰酸鹽电解液中的鍍銅
..... Н.В.斯捷班紐克 (28)
4. 提高合成橡膠膠料和膠漿的粘度..... К.Ф.卡魯日尼娜等 (45)
5. 热反應樹脂與合成橡膠相互作用的研究..... И.А.斯庫巴等 (53)
6. 膨脹硫化胶氧化裂解過程的物理化學基礎 第一報 膨脹硫化胶中
生胶與溶劑的共軛氧化..... Т.Г.捷特捷娃等 (70)
7. 膨脹硫化胶氧化裂解過程的物理化學基礎 第二報 阻化劑對膨脹
硫化胶氧化裂解的影響..... А.С.庫茲明斯基等 (82)
8. 生胶和硫化胶光老化的某些特徵 Ю.С.朱也夫等 (98)
9. 橡膠臭氧龟裂動力學的客觀測定法 Г.И.帕拉維特尼柯娃等 (111)
10. 測定生胶及橡膠中鐵、銅、錳和鋅的微譜分析法
..... Р.М.別里茨卡娅 (120)
11. 未硫化胶料中促進劑DM及促進劑M的光電比色測定
..... В.В.斯帖帕諾夫 (133)

压延机速度的調整（在电傳动裝置異步 电动机轉子电路中接入电阻）

技术科学副博士C.B. 盖里弗列赫 И.М. 斯达洛夫

橡胶工业中有极大一部分压延机沒有調整裝置，因此，压延机調整或用它进行压延时都是用同样的速度。根据安全技术条件，調整速度应为 5 米/分^{1,2} 因而在大多数情况下表現为工作速度較慢。

造成这种不正常情况的主要原因是沒有簡單的、易于掌握的以及保証两种速度的电力传动裝置。調整速度（5—7 米/分）与生产速度的关系，按各地的生产条件，工作速度应比調整速度大半倍、一倍或两倍^{1,2,4}。

目前采用的調整电力传动裝置，虽有許多优点，但要求有复杂的專門設備。工厂中須有直流电路、輔助生产場地及相当大的投資。因此，将这种电力传动裝置装于旧式构造的压延机上，特別是装在小規格的压延机上，在技术上和經濟上均未必合算。

假如計算出調整压延机的必要時間（1—3 分）大約为压延机工作总時間的 7%*（系指无調整传动裝置的压延机），則用已知的調整方法，即接有效电阻接通轉子电路来調整帶綫卷型轉子的異步电动机的速度，能使压延机的生产能力增加半倍至两倍，而且还保証調整和压延操作都能安全进行。

采用这种方法无須很大的費用，也无須配备任何复杂的設備，所需重新装配的設備，也可由各工厂的电器車間来进行装配。

电动机的人工特性曲線的計算法

我們不准备詳細論述速度調整法的理論基础，而只指出可用精

* 橡胶橡胶工业科学研究院設在“生胶”工厂中的自動裝置获得的資料。

确的或近似的方法^{5·6}計算有效电阻接入电动机轉子电路所获得的人工特性曲綫。这里应指出，假如比較一下用精确方法及近似方法計算特性曲綫的結果，那么，在特性曲綫的工作部分，这两方法之間的差別不超过5%。

下面对这两种方法作簡要的介紹。

精 确 方 法

大家知道，电动机轉矩M与轉子轉差率S之間最精确的关系可用下式来表示：

$$M = M_k \cdot \frac{2 - q}{S_k + S + q} \quad (1)$$

式中： M_k —临界力矩或逆轉力矩的数值。

q 及 S_k 可由下式得出：

$$q = \frac{2 I_{ekn} r_p}{(1+\tau) U_{\phi}} \quad (2)$$

$$S_k = \frac{(1+\tau_s) I_{ekn} r_p}{(1+\tau_p) U_{\phi}} \quad (3)$$

式中， U_{ϕ} ——定子的相电压（连接成星形时）；

I_{ekn} ——定子电路中短路的理想电流；

r_s, r_p ——定子和联定子之轉子的內效电阻；

τ_s, τ_p, τ ——定子及轉子繞圈的漏損系数及总数。

經過一些簡化后（对計算的精确性沒有重大影响）， S_k 和 q 可按下式計算：

$$S_k = \frac{r_p'}{X_s + X_p'} \quad (4)$$

$$q = \frac{2 r_s}{(1+\tau)(X_s + X_p')} \quad (5)$$

式中： X_s 和 X_p' 为定子和联定子之轉子的感应电阻。

功率为22至125 仟瓦的电动机， q 的平均值为0.3。

如将附加电阻接通轉子电路，那么就必须以轉子电路总的有效

电阻化入公式(4)，以代替轉子的內效电阻 γ_B

$$R_p = \gamma_P + \gamma_B \quad (6)$$

式中， γ_B 为轉子电路中，外(附加的)效电阻。

則 $S_k = \frac{R'_P}{X_a + X'_P} \quad (7)$

式(4)和式(7)相比，得出：

$$\frac{S_{kn}}{S_{ka}} = \frac{R_p}{\gamma_P} \quad (8)$$

式中， S_{ka} ， S_{kn} ——自然及人工特性曲綫上的临界轉差率。

这种关系說明，任何一个人工特性曲綫上的轉差率比自然曲綫多好几倍，轉子电路的总有效电阻也就比轉子的內效电阻多好几倍。这是在等值的負荷力矩下进行的比較。

近似的方法

假如省略定子的有效电阻值，即对电动机容許有較大的功率，则得出：

$$M = M_k - \frac{2}{\frac{S}{S_k} + \frac{S}{S}} \quad (9)$$

若 $\frac{S}{S_k}$ 的比值不大，省去这个比值，则式(9)可为：

$$M = \frac{2M_k}{S_k} S \quad (10)$$

根据式(10)可作出电动机自然特性曲綫的工作部分。

在接通轉子电路的不同的外电阻下，異步电动机的机械特性曲綫如图1，

曲綫1符合于电动机的自然特性曲綫($\gamma_B=0$)。机械特性曲綫(曲綫2、3、4)是在轉子电路不同外电阻下作出的，此时

$$R_{p1} < R_{p2} < R_{p3} < R_{p4}$$

如果在这个曲綫图上作一根改变靜力矩的曲綫5，则外电阻的各个数值可求出电动机符合該靜力矩的轉速。

假如擦胶或压片时，为了简化起见，可在变速下把压延机的静力矩当作一个固定的数值*。因此，在图1上将静力矩作出一根平行于横坐标的直线（曲线5）。

压片及擦胶时，只有关系性质 ($M = \text{const}$) 是固定的，而静力矩纵坐标值都是随压延机所做的功而有所不同。

电动机转差率及速度与电阻数值和轴上负荷力矩的关系可由下式得出：

$$R_p = \frac{M_H}{M} S$$

或

$$R_p = R_{PH} \frac{M_H S}{M} \quad (11)$$

式中： R_p ——转子电路的有效电阻；

R_{PH} ——转子电路的额定电阻；

M ——等于静力矩的电动机转矩 ($M = M_c$)；

M_H ——电动机的额定转矩；

S ——转子的转差率。

图1 带有接触环的异步电动机在接通转子电路的不同外电阻下的机械特性曲线。
1— E_{p1} 时电动机的自然特性曲线；2、3、4—在
 $E_{p2}、E_{p3}、E_{p4}$ 时相应的人工特性曲线；5—接电动机轴静力矩的变化：

当电动机静力矩及额定力矩 $M_c = M_H$ 相等时，式(11)就更简化了。

这时

$$R_p = R_{PH} S \quad (12)$$

* 根据我们的实验资料，在压片时事实上静力矩与速度的关系具有双曲线的性质。此时，随速度的增加，静力矩呈渐近线接近极值。当压片速度为 15 米/分钟时，实际上可认为是固定的。

因而轉差率与轉子 R_P 的有效电阻成正比的关系。

由此，利用式(12)可容易地測出为获得轉差率及速度的規定數值所必要的轉子电路的有效电阻。

假如靜力矩的數值 $M_C \neq M_R$ ，那么， R_P 可按式(11)的 $\frac{M_R}{M}$ 比值計算出来。

調整速度的容許极限

选择調整速度的极限时应考慮到，速度調整的范围大于1:4时，电动机的机械特性曲綫会逐漸变成不能容許的“柔軟性”^{5,6}。这时，很小的負荷变化即能引起速度的急剧降低，或甚至引起电动机“逆轉”（停車）。

在压延机开动时，特性曲綫上表現出的《柔軟性》特別显著。压延机无負荷（无胶料及布料）开动时，即使——轉子电路有很大的外电阻，也不必耽心电动机会“逆轉”，因为空轉时压延机的靜力矩很小。当开始装入胶料时，电动机可能有出現“逆轉”的危險，因为压延机电阻的靜力矩在这时有急剧的增长，而电动机的轉矩在轉子电路的同一外电阻下却表現为很不足。

在压延机进行装料、而轉子电路的外电阻很大时，电动机最大的轉矩往往小予起動轉矩，也小予起動时压延机的靜力矩。这时，电动机便“不能起動”，即不能开动压延机。

事实上，用这种調整方法，速度范围不应选择大于1比3。因此，調整速度采用5—7米/分，以它作为調整时最小的速度，就能获得相当于工作速度15—21米/分的調整极限。

速度变化与負荷的关系

異步电动机軸上負荷的改变經常引起速度的某些变化。图1上的曲綫1相当于电动机的自然特性曲綫。当 R_{P1} 只与轉子的本身的内效电阻相等时，可以看出，負荷由 $M=0$ 变为 $M=M_R$ 时，轉速也略有降低（大約降低4%），相当于一般用于传动压延机的电动机轉子标准轉差率的數值。

随 R_P 的增加（靠接通附加外有效电阻），人工特性曲綫（曲綫

2、3、4) 工作部分的傾斜度也逐漸增大。結果，負荷變化對速度的影響急劇增長。例如，曲線3上的負荷由 $M=0$ 变为 $M=M_{cr}$ 时，其速度的變化約為25%。

图1中还能看出，在同一个轉子电路的有效电阻下，在特性曲綫的工作部分极限內轉速隨負荷的增加而降低（大致按直綫关系变化）。

为了說明起見，必須較詳尽地闡明異步电动机这种不良性能对传动裝置工作的影响。

为了使压延机能安全地的調整和裝料需要有較低的速度，即要求在起動电动机时将外电阻接通其轉子电路。該电阻数值的选择应使之在調整压延机时所产生的負荷下，运动速度与需要的調整速度相符合。压延机空轉时，即胶料装入裝料設備前，电动机轉动的速度总是比需要的調整速度大一些，但不能是特別危险的速度，因为調整压延机和递入布料，即那些需要較低速度的工序总是在加入胶料以后进行的。如实驗所證明，当胶料加入压延机后，由調整压延机和递布所引起的負荷变化对速度的影响不大。这样，无论 是压片或擦胶，調整和进料，实际上总是在容許的調整速度下进行的。在工作速度下，压延机上的电动机具有自然特性曲綫，因此，在这种情况下改变負荷，实际上并不影响电动机的速度。此外，压延机進行調整时，其負荷一般变化不大。事实上，在同一速度及正常的工作条件下压延机电阻的靜力矩是取决于胶料的物理机械性能、档板之間的距离、压延胶片的厚度及布料的寬度等。所有这些因素在調整压延机的过程中实际上是不会变动的，因而压延机的工作負荷也不致引起变化，

为了最完整地說明压延机工作时負荷的变化情况，必須簡述下列現象。压延机工作时，在各种不同原因的影响下（传动軸或传动觀的摆动、軸承的間隙，胶料溫度的波动不均及布料張力的变化等等），使負荷受着連續的短時間的波动，从而引起負荷有連續的非周期性的波动，其波动范围与速度有很大的关系。

图2为自動記录电力計測出的用四种速度进行压延所需功率的曲綫。虽然，这些波动的數值頗大，特別是在很大的速度时更大，

但它们对工作速度，尤其是对调整速度的影响不大（由于压延机的惯性），因而无需考虑。

图2三相电力计下的压延机消耗功率的图表（同样胶片用四种不同的速度进行压片）。

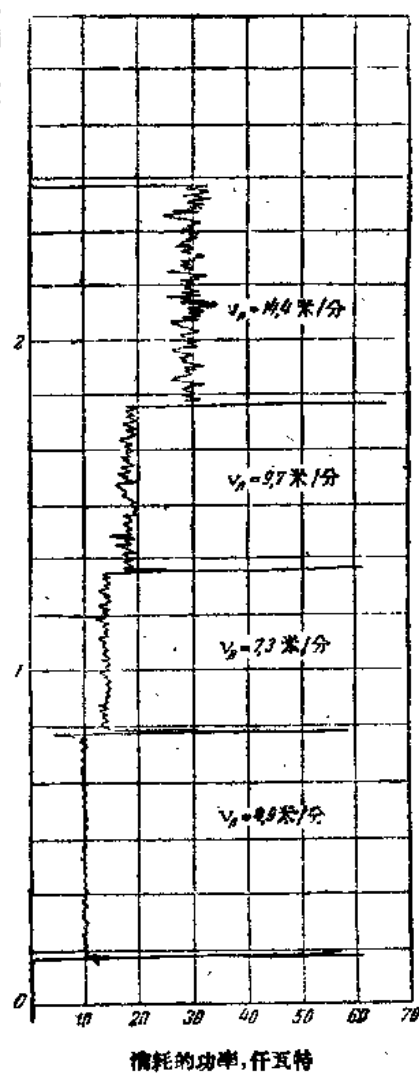
电阻计算实验

计算调整变阻器的电阻与计算起动变阻器的电阻是相类似的，由于在选择主要计算公式时定出了一些假设条件，所以这种计算并不复杂。

上述静力矩或电动机轴的负荷力矩是可变的，而且在很大程度上是取决于压延机工作性质、加工材料的种类及制品的规格等。因此，电动机的功率应根据压延机的最大负荷来选择。同时，在较小的负荷下，电动机轴上的负荷力矩要小于额定转矩。

既然这些偏差在事实上彼此可以具有完全不同的数值，因此，有必要根据压延机个别偶然的负荷来计算电阻。在这里所谈到的计算是假设压延机的静力矩或负荷力矩等于电动机的额定力矩。

调整速度较精确的理想值由实验确定。为此，在采用传动装置时，将备的标准电阻应比额定的多20—30%。



电阻可根据产品的說明書和資料索引目录进行計算，如沒有這些資料（旧式结构的或国外进口的电动机）时，可以用直接測量的方法來計算。

下面举例的是“生胶”工厂装在13号橡胶压延机上传动电动机的电阻計算法。根据計算，电动机上所装的电阻能保証調整速度。电力传动裝置簡图如图3。

电动机的电刷裝置用安装輔助电刷来加强（每环三个电刷）。

实验和长时期的使用改装的传动裝置証明，压延机电动机能安全而有效地工作。

按装之电动机的說明資料如下：

型号：A ИС—1151—6 №261815。

定子： Δ/λ —220/380伏特；250/145安培；

$P=75$ 仟瓦； $n=975$ 轉/分； $\eta=89.2\%$ ；

$\cos \varphi = 0.87$ ； $\frac{M_k}{M_H} = 2$

轉子： $U_{PH}=195$ 伏特； $I_{PH}=250$ 安培；

FOCT B—1042—41。

1. 計算額定轉差率 S_H 的值，利用已知比例式。

$$S_H = \frac{n_0 - n_H}{n_0}$$

式中： n_0 及 n_H —电动机每分鐘的同步轉數及額定轉數。

以数值代入上式，则得：

$$S_H = \frac{1000 - 975}{1000} = 0.025$$

2. 由式(9) 計算在自然特性曲綫时的临界轉差率 S_K 。

$$M = M_H \cdot \frac{S^2}{\frac{S_K^2}{S_K} + S}$$

因 $M=M_H$ ， $\frac{M_k}{M_H} = 2$ ， $S=S_H=0.025$ ，以 M_H 除上式并代入
数值，则得：

$$1=2 \frac{2}{0.025 + \frac{S_K}{0.025}}$$

故 $S_K = 0.095$ 。

求出 S_K 值，可根据转差率求出电动机转矩对额定转矩的比值：

$$\frac{M}{M_n} = M_d = 2 \frac{2}{\frac{S}{0.095} + \frac{S}{S}}$$

这样，就可绘出电动机的自然特性曲线。

3. 若按式(8)导出下列比值，则容易确定人工特性曲线：

$$\frac{S_n}{S_e} = \frac{R_p^n}{\gamma_p^n} \quad (13)$$

式中： S_n ——人工特性曲线的转差率；

S_e ——自然特性曲线的转差率；

$$R_p^n = \frac{R_p}{R_p}, \quad \gamma_p^n = \frac{\gamma_p}{\gamma_{PH}}.$$

根据式(11)，以转子额定电阻表示的转子内电阻。实际上可能完全精确地等于额定转差率：

$$\gamma_p^n = S_e = 0.025$$

同时，根据式(13)计算出转子电路的总电阻为：

$$R_p^n = S_n \quad (14)$$

4. 计算转子电路外电阻的值，应将电阻接通以得到转差率 $S_n = 0.7$ 。根据式(14)，总电阻则相当于：

$$R_p^n = 0.5 \text{ 及 } R_p^n = 0.7$$

其相应的外电阻为： $\gamma_p^n = 0.5 - 0.025 = 0.475$ 及 $\gamma_p^n = 0.7 - 0.025 = 0.675$ 。

欲求出以欧姆计算的电阻，必须根据公式找出转子的额定电阻

值：

$$R_{PH} = \frac{E_{PH}}{\sqrt{3} I_{PH}}$$

式中： R_{PH} —轉子的額定相电阻（歐姆）；

E_{PH} —固定轉子的末端电压（伏特）；

I_{PH} —轉子的額定电流强度（安培）。

在上述情况下：

$$R_{PH} = \frac{195}{1.37 \times 250} = 0.452 \text{ 欧姆}$$

故外电阻如下：

当 $S_B = 0.5$ 时， $\gamma_B = R_{PH}$ ， $\gamma_B^A = 0.452 \times 0.475 = 0.215$ 欧姆

$S_B = 0.7$ 时， $\gamma_B = R_{PH}$ ， $\gamma_B^A = 0.452 \times 0.675 = 0.306$ 欧姆

可用类似的方法計算額定轉速在 3 % 的范围内任一速度的电阻（即任何繞組式轉子电动机上的电阻）。

标准电阻类型的选择

选择調整用电阻与选择起动变阻器的电阻不同，应特别注意电阻的使用条件，須选择适合长时间閉合的电阻（工作时期— t_P ，停息时期— t_H ）。

$\frac{t_P}{t_P + t_H}$ 值用 ΠP 表示。式中： $t_P + t_H$ 为循环时间， ΠP 为工作

时期的相对时间，一般以百分率来表示。

通常，电阻的使用条件如下：

- (1) 长時間使用；
- (2) 短時間使用；
- (3) 短時間重复使用；
- (4) 間歇使用。

在上述情况下已发现短時間重复使用条件的特征是工作时期

停止时期互相更替，而且在完成任一工作阶段时都未达到规定的电阻温度。

停止时，电流不通过电阻。因此电阻中的储热量减少，电阻温度也随着降低。

标准电阻是根据通过电阻的电流强度及 Π_P 的数值来选择的。 Π_P 越小，通过该电阻的电流就愈多。这样，可以选用外形尺寸较小的电阻，成本也低。

“生胶”工厂的13号压延机在工作时，电阻接通的时间 t_P 是在40至180秒之间，平均为73秒。这个时间与短时间重复使用条件的标准值比較起来，更符合于較长的 Π_P 。

鉴于这种原因，还須考慮到，根据橡胶杂品工厂的工艺要求。有时需要在較低的速度下进行工作，所以最好根据电阻长时间使用条件的計算来选择調整电阻。可是，压延机长时间在較低的調整速度下工作很不經濟，只有在特殊情况下才允許采用低速操作。

試驗裝置的簡述

所談到的电力传动装置是安装在“生胶”工厂的橡胶压延机№13上的。

根据資料，在該压延机进行大修理时，曾經安装带有AMC-115—6型繞組式轉子的異步电动机。采用調整速度时，传动装置的起动、停止及工作都是自动化进行。

为此，曾經利用 СИЛ6702-69132 型的磁控場，将附加接触器（见）接通，在接触器开动以前，操縱电路是断开的（图3）。接通附加接触器才可进行下列工序。

1. 按“起动”电鈕，电动机以調整速度（即在接通轉子电路的全部附加电阻下）开动起来。

2. 按“工作”电鈕时，接触器才开始工作，因此。操縱电路产生电压，电动机便开始正常轉动。这时，利用定时繼电器及加速接触器来保証均匀地提高速度，加速接触器可在規定的順序內使各級电阻短路。

3. 为了保証压延机在工作时的速度轉变为調整速度，接触器几

电路中应安有标准关闭电钮。按该电钮时，接触器J的线圈断开，操纵电路中标准关闭接头断开。因此，全部加速接触器的线圈被切断，并且在电阻回路中切断了接头。因而，使全部电阻接通转子电路。这时电动机以调整速度来进行工作。当按“工作”电钮时，又

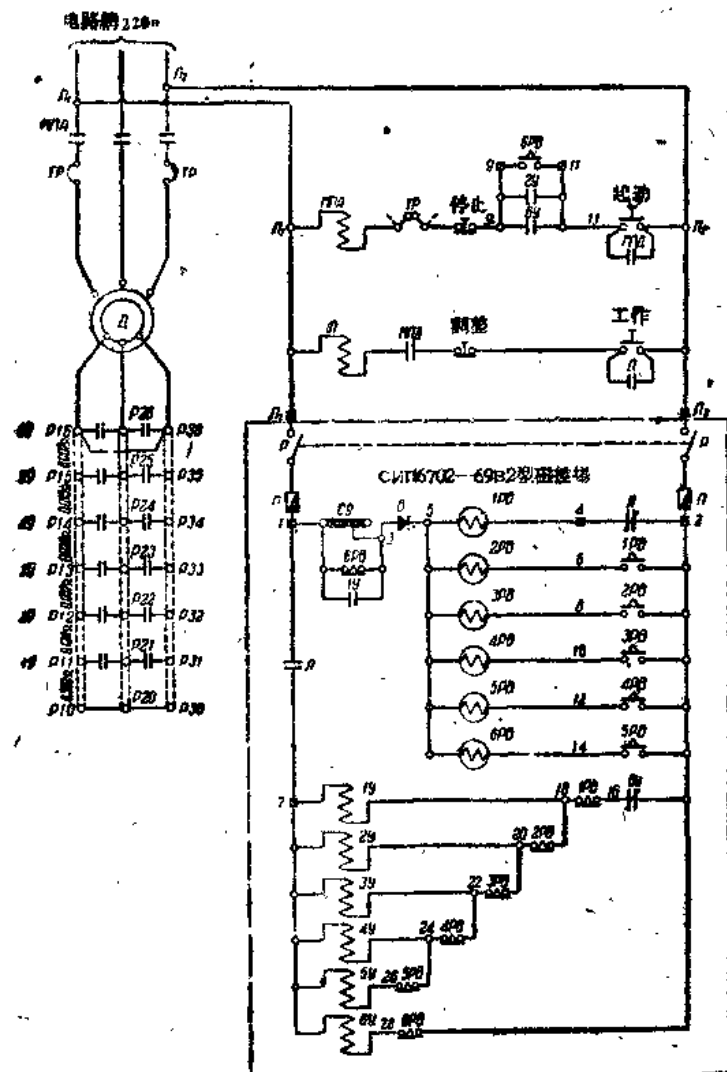


图3 “生胶”厂压延机N613上所采用的带有接触环（75瓦特，975转/分）的异步电动机两级调整的线路图

可还原为工作速度。

事实上(安装时)，接通轉子电路的电阻，其数值都列在图 3 的线路图上。

在試驗的过程中必須使最末一級短路閉合，而这样的外电阻等于 0.232 欧姆。用这种电阻时，受負荷影响的調整速度減小至額定速度的 50%。电动机就是以这种調整速度运转。根据目前情况，要使調整速度減小至額定速度的 3%，必須接入 0.174 欧姆的附加电阻。我們試驗的目的除了檢驗該传动裝置的工作能力外，同时也为了說明使用它的經濟价值。

使用上述传动裝置的經濟价值，可由接通电阻时(即調整速度)，传动裝置的相对工作時間来表示。根据这个時間可計算被接通的电阻所消耗的电能。电阻中功率的損耗值与速度的降低成正比。例如，当速度減至 70% 时，通入电动机的总电能中約有 70% 消耗在变阻器的加热上。

为了測定压延机以調整速度进行工作的時間，在各种材料加工时，我們曾用自动記录伏特計測定了時間。

有两种測量电压极限的自記伏特計(达300伏特及450伏特)記录同一电压：压延机以工作速度工作时达 300 伏特极限內的 220 伏特；以調整速度工作时达 450 伏特极限內的 220 伏特。伏特計測量极限是用中間繼电器帶一个測量极限达 300 伏特的正常开动接触器和一个測量极限达 450 伏特的正常关闭接触器来进行換物。中間繼电器的綫圈在正常开动接触器接通操縱电路后联接綫路(見图 3)。这样，就能精确而明显的将压延机各种速度的工作時間記录在自記伏特計的紙帶上。图 4 是一部分帶有上述記录的紙帶。

自动化測定时间进行了 49.8 小时，在該期間內电阻接通 181 次(用較低的速度)。带接通电阻的电动机的工作总時間等于 3.66 小时。平均的接通时间为 73 秒。在試驗時間內，压延机以工作速度進行工作 46.14 小时。

要判断传动裝置工作的經濟价值，必須掌握带接通电阻的电动机的相对工作時間。根据試驗，这个数值等于。